

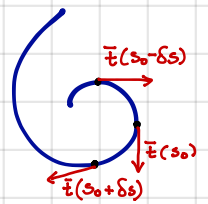
GEOMETRIA RÓŻNICZKOWA II

WYKŁAD 2: GEOMETRIA POWIERZCHNI ZANURZONYCH

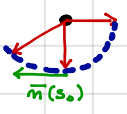


GEOMETRIA II WYKŁAD 2 POWIERZCHNIE ZANURZONE W PRZESTRZENI EUKLIDESOWEJ

Pracując w przestrzeni Euklidesowej (np. w \mathbb{R}^n) z obiektami typowymi dla geometrii różniczkowej (wektory styczne, kowektory, pola, formy) korzystamy często z faktu, że możemy porównywać np. wektory styczne zaczepione w różnych punktach. Podobnie postępować możemy z kowektorami i wielokowektorami. Z możliwością tej korzystaliśmy np. definiując wektor normalny główny dla krzywej regularnej: wektor styczny $\vec{T}(s)$ zaczepiony jest w punkcie $\gamma(s)$, należy więc do $T_{\gamma(s)}\mathbb{R}^n$. Do celów różniczkowania abstrahujemy od punktu zaczepienia. Ponieważ $T\mathbb{R}^n = \mathbb{R}^n \times \mathbb{R}^n$ (czarny punkt zaczepienia, **czarny wektor styczny**) krzywą $\vec{T}(s)$ traktujemy jak krzywą w przestrzeni czterowej i różniczkujemy jak zwykle.



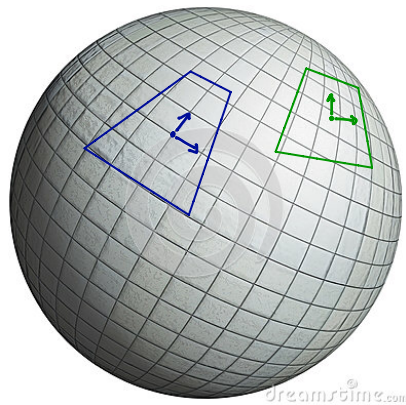
$s \mapsto \vec{T}(s)$ krzywa zakreślana przez wektory styczne



Rozważmy teraz powierzchnię M wymiaru k zanurzoną w \mathbb{R}^m . W każdym punkcie $x \in M$ $T_x M$ jest k -wymiarową podprzestrzenią

$s \mapsto \gamma(s)$
wyjściowa krzywa

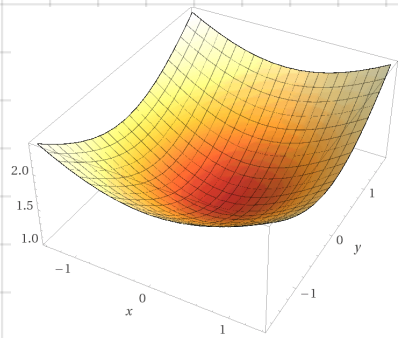
w $T_x \mathbb{R}^n \cong \mathbb{R}^n$. $T_x M$ jest więc izomorficzne z \mathbb{R}^k ale nie kanonicznie. Nie mamy także żadnego związku między wektorami stycznymi w różnych punktach. Weźmy np. sferę $S^2 \subset \mathbb{R}^3$. Podprzestrzenie niebieska i zielona są zawarte w \mathbb{R}^3 , ale które niebieskie wektory odpowiadają którym zielonym - nie wiadomo. W dalszym ciągu zajmiemy się problemem różniczkowania obiektów typu pola wektorowe, formy różniczkowe na powierzchniach zanurzonych w przestrzeni Euklidesowej. Używać będziemy zarówno zanurzenia jak i iloczynu skalarnego. Jest to temat zaliczony do klasycznych zagadnień geometrii różniczkowej. Wszystkie pojęcia ilustrować będziemy rachunkami dla górnej połowy hiperboloidy dwupowłokowej zanurzonej w \mathbb{R}^3 .

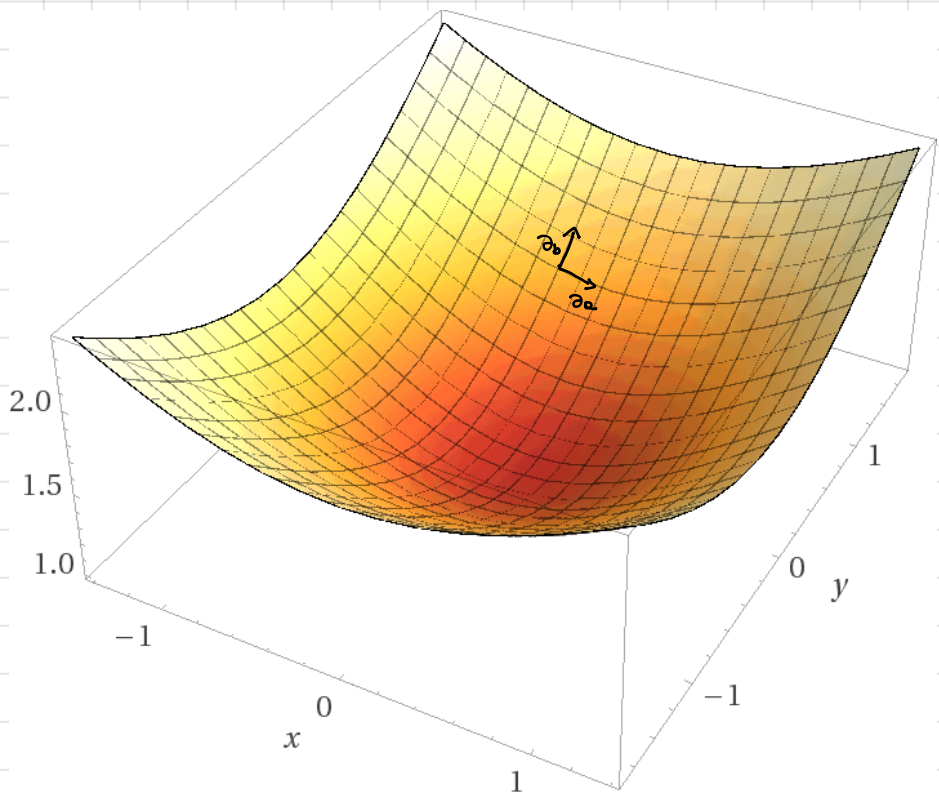


$$\mathcal{H} = \{ (x, y, z) : z^2 - x^2 - y^2 = 1, z > 0 \}$$

Przytłoczono używać będziemy globalnej parametryzacji $\mathcal{H} \quad \mathbb{R}^2 \ni (a, b) \mapsto (a, b, \sqrt{1+a^2+b^2}) \in \mathcal{H}$. Kiedy mówić będziemy o powierzchni M zanurzonej w E używać będziemy parametryzacji powierzchni $\mathbb{R}^k \supset U \ni (u^1, \dots, u^k) \mapsto (x^1(u), \dots, x^k(u)) \in M$. Wektory styczne do M zapisywać można w bazie $\partial_{u^1}, \dots, \partial_{u^k}$ ale także w bazie związanej ze współrzędnymi ortonormalnymi (x^1, \dots, x^k) czyli $\partial_{x^1}, \dots, \partial_{x^k}$. Na przykład przestrzeń styczna $T\mathcal{H}$ w punkcie q o współrzędnych (a, b) rozpięta jest przez

$$\partial_a = \partial_x + \frac{a}{\sqrt{1+a^2+b^2}} \partial_z \quad \partial_b = \partial_y + \frac{b}{\sqrt{1+a^2+b^2}} \partial_z$$





Zauważmy, że iloczyn skalarny można obciąć do powierzchni M :

DEFINICJA: Pierwszą formę podstawową na powierzchni M nazywamy obcięciem iloczynu skalarnego z TE do TM .

Zauważmy, że w przestrzeni $TE = E \times V$ iloczyn skalarny jest stały, ten w każdym punkcie E iloczyn skalarny w $T_q E = V$ jest taki sam. Obcięcie do TM jednak zależy od punktu, bo w każdym punkcie obcinamy do innej podprzestrzeni.

Macierz iloczynu skalarnego dostajemy licząc iloczyn skalarny wektorów bazowych

$g_{ij} = (\partial_{u^i} | \partial_{u^j})$ W naszym przykładzie na \mathcal{M} dostajemy

$$(\partial_a | \partial_a) = 1 + \frac{a^2}{1+a^2+b^2} \quad (\partial_b | \partial_b) = 1 + \frac{b^2}{1+a^2+b^2} \quad (\partial_a | \partial_b) = \frac{ab}{1+a^2+b^2}$$

$$[g] = \frac{1}{1+a^2+b^2} \begin{bmatrix} 1+2a^2+b^2 & ab \\ ab & 1+a^2+2b^2 \end{bmatrix} \quad \text{Korzystając z notacji tensorowej } g \text{ zapisalibyśmy jako}$$

$$g = \frac{1}{1+a^2+b^2} \left((1+2a^2+b^2) da \otimes da + ab (da \otimes db + db \otimes da) + (1+a^2+2b^2) db \otimes db \right)$$

Niezależnie od zapisu g jest formą dwuliniową symetryczną na TM .

Jak już wspomnieliśmy pola wektorowe na E można różniczkować w kierunku wektorów stycznych do \mathbb{R}^n „po współrzędnych” używając globalnego układu współrzędnych. Np jeśli $Y = Y^i(x) \partial_{x^i}$ wyznaczyć możemy $D_{\nu} Y$ dla $\nu \in T_x \mathbb{R}^n$ $\nu = \nu^i \partial_{x^i}$ według wzoru:

$$(D_{\nu} Y)^i \partial_{x^i} = \left(\nu^j \frac{\partial Y^i}{\partial x^j} \right) \partial_{x^i} \quad \text{Wzór ma sens mimo że wyrażony jest we współrzędnych bo}$$

wszystkie współrzędne $(x^1 \dots x^n)$ są globalne i wzór zachowuje postać przy zmianie bazy

każdą współrzędną pole różniczkujemy oddzielnie

$$y^l = A^l_j x^j \Rightarrow \partial_{x^i} = A^j_i \partial_{y^j}$$

$$Y = Y^i \partial_{x^i} = Z^l \partial_{y^l} \quad \text{z}^l = A^l_k Y^k$$

$$\nu = \nu^i \partial_{x^i} = u^j \partial_{y^j} \quad \text{u}^j = A^j_l \nu^l$$

$$D_{\nu} Y = \nu^i \frac{\partial Z^l}{\partial y^i} \partial_{y^l} = A^l_k \nu^k \frac{\partial}{\partial y^i} (A^l_m Y^m) \partial_{y^l} = \nu^k \underbrace{A^l_k \frac{\partial}{\partial y^i}}_{\frac{\partial}{\partial x^k}} Y^m \underbrace{A^l_m \partial_{y^l}}_{\partial_{x^m}} = \nu^k \frac{\partial Y^m}{\partial x^k} \partial_{x^m}$$

całość działa bo macierz A jest stała.

W dowolnym układzie współrzędnych krzywoliniowych na M nie zadziała - macierz zmiany

bazy nie będzie raczej stała i nie można jej "wyjąć" z różniczkowania. Pola wektorowe na M można różniczkować po współrzędnych jedynie w kierunku wektorów stycznych do M i jedynie wtedy gdy są wyrażone w bazie zewnętrznej przestrzeni. Wykik różniczkowanie nie musi być styczne do M . Na przykład na hiperboloidzie \mathcal{H} możemy różniczkować pole ∂_a w kierunku wektora ∂_a w ustalonym $q=(a,b)$

$$\partial_a = \partial_x + \frac{a}{\sqrt{1+a^2+b^2}} \partial_z \quad D_{\partial_a} \partial_a = \left(\frac{\partial}{\partial a} 1 \right) \frac{\partial}{\partial x} + \frac{\partial}{\partial a} \left(\frac{a}{\sqrt{1+a^2+b^2}} \right) \partial_z = \left(\frac{1}{\sqrt{1+a^2+b^2}} - \frac{a^2}{\sqrt{1+a^2+b^2}^3} \right) \partial_z =$$

$$= \frac{1}{\sqrt{1+a^2+b^2}} \left(1 - \frac{a^2}{1+a^2+b^2} \right) \partial_z = \frac{1+b^2}{\sqrt{1+a^2+b^2}^3} \partial_z$$

$D_{\partial_a} \partial_a$ ma jedynie składową w kierunku ∂_z nie może być więc styczne do \mathcal{H} .

Ze względu na istnienie iloczynu skalarnego w $T_q \mathbb{R}^n$ możemy rozłożyć $T_q \mathbb{R}^n$ na $T_q M$ i $(T_q M)^\perp$. Korzystając z tego rozkładu możemy napisać

$$D_{\mathcal{V}} X = (D_{\mathcal{V}} X)^\parallel + (D_{\mathcal{V}} X)^\perp \quad \text{dla } X \text{ będącego polem na } M; \mathcal{V} \in T_q M$$

część styczną do M oznaczamy $\nabla_{\mathcal{V}} X$, tzn $\nabla_{\mathcal{V}} X = D_{\mathcal{V}} X - (D_{\mathcal{V}} X)^\perp$ (*)

Policzmy $\nabla_{\partial_a} \partial_a$: W tym celu potrzebujemy pola N wektorów normalnych do \mathcal{H} o długości 1.

$$(N|\partial_a) = 0 \quad (N|\partial_b) = 0 \quad (N|N) = 1 \quad N = \frac{1}{\sqrt{1+2a^2+2b^2}} (-a \partial_x - b \partial_y + \sqrt{1+a^2+b^2} \partial_z)$$

$$\nabla_{\partial_a} \partial_a = D_{\partial_a} \partial_a - (N|D_{\partial_a} \partial_a) N = \frac{1+b^2}{\sqrt{1+a^2+b^2}^3} \partial_z - \frac{1+b^2}{(1+2a^2+2b^2)(1+a^2+b^2)} (-a \partial_x - b \partial_y + \sqrt{1+a^2+b^2} \partial_z)$$

$$= \frac{1+b^2}{(1+a^2+b^2)(1+2a^2+2b^2)} \left[\frac{1+2a^2+2b^2}{\sqrt{1+a^2+b^2}} - \frac{1+a^2+b^2}{\sqrt{1+a^2+b^2}} \right] \partial_z + \frac{1+b^2}{(1+2a^2+2b^2)(1+a^2+b^2)} (a \partial_x + b \partial_y) =$$

$$= \frac{1+b^2}{(1+a^2+b^2)(1+2a^2+2b^2)} \left[a \partial_x + b \partial_y + \frac{a^2+b^2}{\sqrt{1+a^2+b^2}} \partial_z \right] = \dots (a \partial_a + b \partial_b)$$

\uparrow
 $a \partial_a + b \partial_b$

$$\nabla_{\partial_a} \partial_a = \frac{1+b^2}{(1+a^2+b^2)(1+2a^2+2b^2)} (a \partial_a + b \partial_b)$$

STWIERDZENIE

Operacja zdefiniowana wzorem (*) ma następujące własności:

(1) $\nabla_{\mathcal{V}+\mathcal{W}} X = \nabla_{\mathcal{V}} X + \nabla_{\mathcal{W}} X$

Własności (1)-(3) są oczywiste. Jedynie (4) wymaga sprawdzenia:

(2) $\nabla_{\lambda \mathcal{V}} X = \lambda \nabla_{\mathcal{V}} X$

(3) $\nabla_{\mathcal{V}} (X+Y) = \nabla_{\mathcal{V}} X + \nabla_{\mathcal{V}} Y$

$$D_{\mathcal{V}} (fX) = (\mathcal{V}f)X + f(q)D_{\mathcal{V}} X = (\mathcal{V}f)X + f(q)(D_{\mathcal{V}} X)^\parallel + f(q)(D_{\mathcal{V}} X)^\perp$$

(4) $\nabla_{\mathcal{V}} (fX) = (\mathcal{V}f)X + f(q)\nabla_{\mathcal{V}} X$

Część oznaczona na zielono jest styczna do M

zatem $\nabla_{\mathcal{V}} (fX) = D_{\mathcal{V}} (fX)^\parallel = (\mathcal{V}f)X + f(q)(D_{\mathcal{V}} X)^\parallel = (\mathcal{V}f)X + f(q)\nabla_{\mathcal{V}} X$

Operacja ∇_v nosi nazwę **pochođnej kowariantnej** na powierzchni M . Zdefiniowaliśmy ją na polach wektorowych. Zauważmy, że można rozszerzyć ją na pole kowektorowe czyli formy a także na dowolne pole tensorowe. Jak pochođne kowariantne działają na formy?

Mając rozkład $T_q \mathbb{R}^n = T_q M \oplus (T_q M)^\perp$ możemy rozłożyć też przestrzeń dualną

$$T_q^* \mathbb{R}^n = T_q^* M \oplus (T_q M)^\circ \text{ jeśli } \alpha \in T_q^* \mathbb{R}^n \text{ to } \alpha^\parallel \text{ oznacza składową w } T^*M \text{ a } \alpha^\perp \in (T_q M)^\circ$$

Pochodną kowariantną na formy rozszerzymy zgodnie, aby zachodziła reguła Leibniza tzn, aby dla α -formy na M i X -pola na M zachodził wzór

$$\nabla_v \langle \alpha, X \rangle = \langle \nabla_v \alpha, X \rangle + \langle \alpha, \nabla_v X \rangle$$

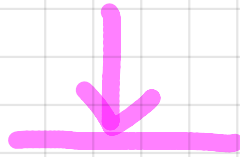
Robimy rachunek używając założenia

$$\nabla_v \langle \alpha, X \rangle = \langle \nabla_v \alpha, X \rangle + \langle \alpha, \nabla_v X \rangle = \langle (D_v \alpha)^\parallel, X \rangle + \langle (D_v \alpha)^\perp, X \rangle + \langle \alpha, \nabla_v X \rangle + \langle \alpha, (D_v X)^\perp \rangle$$

Części zaznaczone na zielono znikają. Pierwsza, bo $(D_v X)^\perp$ należy do $(T_q M)^\circ$ zaś $X \in T_q M$, druga, bo $\alpha \in T^*M$ a T^*M anihiluje $(T_q M)^\perp$. Pozostaje więc

$$\nabla_v \langle \alpha, X \rangle = \langle (D_v \alpha)^\parallel, X \rangle + \langle \alpha, \nabla_v X \rangle$$

Z porównania rzeczy niebieskich mamy $\nabla_v \alpha = (D_v \alpha)^\parallel = D_v \alpha - (D_v \alpha)^\perp$



Udało nam się rozszerzyć pochođną kowariantną także na formy. Stosując regułę Leibniza możemy zdefiniować pochođną kowariantną dowolnego obiektu tensorowego. Możemy na przykład treningowo różniczkować kowariantnie pierwotną formę podstawową g . Zgodnie z regułą Leibniza powinniśmy mieć:

$$\nabla_v (g(X, Y)) = D_v (g(X, Y)) = (\nabla_v g)(X, Y) + g(\nabla_v X, Y) + g(X, \nabla_v Y)$$

Z drugiej strony wiemy że g jest objęciem stałej formy \tilde{g} z $T\mathbb{R}^n$, tzn $g(X, Y) = \tilde{g}(X, Y)$ dla X, Y na M .

$$\text{Na } \mathbb{R}^n \text{ mamy } D_v (g(X, Y)) = D_v (\tilde{g}(X, Y)) = \underbrace{D_v \tilde{g}}_0 (X, Y) + \tilde{g}(D_v X, Y) + \tilde{g}(X, D_v Y) =$$

$$= \tilde{g}((D_v X)^\perp + \nabla_v X, Y) + \tilde{g}(X, (D_v Y)^\perp + \nabla_v Y) = g(\nabla_v X, Y) + g(X, \nabla_v Y)$$

Z porównania niebieskich mamy $(\nabla_v g)(X, Y) + g(\nabla_v X, Y) + g(X, \nabla_v Y) = g(\nabla_v X, Y) + g(X, \nabla_v Y)$ kolorowe składniki się upraszczają i mamy

$$(\nabla_v g)(X, Y) = 0 \quad X, Y \text{ są dowolne, więc } \nabla_v g = 0.$$

Pochodne kowariantne metryki w dowolnym kierunku znikają. To jest własność, która pojawia się jeszcze później - należy ją sobie zapamiętać.

Pochodne kowariantne jest operacją wewnętrzną na M . Spróbujemy ją zapisać w wewnętrznych współrzędnych. W tym celu weźmy układ współrzędnych (u^1, \dots, u^k) na M i zapiszmy

Pole wektorowe Y na M w bazie ∂u^M

$$Y = Y^1(u)\partial u^1 + \dots + Y^k(u)\partial u^k = Y^M(u)\partial u^M$$

$$\nabla_{\vec{v}} Y = \nabla_{\vec{v}} (Y^M(u)\partial u^M) = (\partial_{\nu} Y^M)\partial u^M + Y^M(u)\nabla_{\vec{v}}\partial u^M \quad \text{biorąc } \partial = \partial^{\nu}\partial u^{\nu}$$

mamy

$$\nabla_{\vec{v}} Y = \left(\partial^{\nu} \frac{\partial Y^M}{\partial u^{\nu}}\right)\partial u^M + Y^M(u)\partial^{\nu} \nabla_{\partial u^{\nu}}\partial u^M$$

zwykle różniczkowanie po współrzędnych

w tym tkwi współrzędnościowa istota sprawy!

Wektor $\nabla_{\partial u^{\nu}}\partial u^M$ rozkładamy w bazie ∂u^{σ} : $\nabla_{\partial u^{\nu}}\partial u^M = \Gamma_{\nu\mu}^{\sigma}\partial u^{\sigma}$

Symbole Christoffela

$$\text{Ostatecznie } \left(\nabla_{\vec{v}} Y\right)^M = \partial^{\nu} \frac{\partial Y^M}{\partial u^{\nu}} + \Gamma_{\nu\sigma}^M \partial^{\nu} Y^{\sigma}(u)$$

Podobnie policzyć możemy dla form różniczkowych. Jeśli $\alpha = \alpha_{\mu} dx^{\mu}$ to dla dowolnego pola mamy $\langle \alpha, Y \rangle = \alpha_{\mu} Y^{\mu}$

$$\nabla_{\vec{v}} \langle \alpha, Y \rangle = D_{\vec{v}} \langle \alpha, Y \rangle = \partial^{\nu} \frac{\partial}{\partial u^{\nu}} (\alpha_{\mu} Y^{\mu}) = \partial^{\nu} \left(\frac{\partial \alpha_{\mu}}{\partial u^{\nu}}\right) Y^{\mu} + \alpha_{\mu} \partial^{\nu} \frac{\partial Y^{\mu}}{\partial u^{\nu}}$$

$$\parallel \langle \nabla_{\vec{v}} \alpha, Y \rangle + \langle \alpha, \nabla_{\vec{v}} Y \rangle = (\nabla_{\vec{v}} \alpha)_{\mu} Y^{\mu} + \alpha_{\sigma} \left(\partial^{\nu} \frac{\partial Y^{\sigma}}{\partial u^{\nu}}\right) + \alpha_{\sigma} \Gamma_{\mu\nu}^{\sigma} Y^{\mu} Y^{\nu} \quad \text{zielone są uproszczenia}$$

$$\partial^{\nu} \frac{\partial \alpha_{\mu}}{\partial u^{\nu}} Y^{\mu} = (\nabla_{\vec{v}} \alpha)_{\mu} Y^{\mu} + \Gamma_{\nu\mu}^{\sigma} \partial^{\nu} Y^{\mu} \alpha_{\sigma}$$

$$\text{Z dowolności } Y \text{ mamy } \left(\nabla_{\vec{v}} \alpha\right)_{\mu} = \partial^{\nu} \frac{\partial \alpha_{\mu}}{\partial u^{\nu}} - \Gamma_{\nu\mu}^{\sigma} \partial^{\nu} \alpha_{\sigma}$$

Do kompletu własności pochodnej kowariantnej na powierzchni zanurzonej potrzebujemy jeszcze jednego stwierdzenie

STWIERDZENIE: Współczynniki Christoffela na powierzchni zanurzonej są symetryczne ze względu na dolne wskaźniki

Dowód: Weźmy dwa pola wektorowe X, Y na M i policzmy $\nabla_X Y - \nabla_Y X$

$$\nabla_X Y - \nabla_Y X = D_X Y - (D_X Y)^{\perp} - D_Y X + (D_Y X)^{\perp} = (D_X Y - D_Y X) - (D_X Y - D_Y X)^{\perp} = [X, Y] - [X, Y]^{\perp}$$

X, Y są styczne do M , zatem $[X, Y]$ też jest styczny do M . Wobec tego $[X, Y]^{\perp} = 0$.

Mamy zatem $\nabla_X Y - \nabla_Y X = [X, Y]$ weźmy $X = \partial u^{\mu}$ $Y = \partial u^{\nu}$ wtedy $[X, Y] = 0$ i

$$\nabla_{\partial u^{\mu}} \partial u^{\nu} - \nabla_{\partial u^{\nu}} \partial u^{\mu} = 0 = (\Gamma_{\mu\nu}^{\sigma} - \Gamma_{\nu\mu}^{\sigma}) \partial u^{\sigma} \quad \text{zatem } \Gamma_{\mu\nu}^{\sigma} = \Gamma_{\nu\mu}^{\sigma} \quad \blacksquare$$

PRZYKŁAD: Symbole Christoffela na \mathbb{H} : Wyznaczyliśmy już wcześniej $\nabla_{\partial_a} \partial_a$ znając wobec tego

$$\Gamma_{aa}^a = \frac{a(1+b^2)}{(1+2a^2+2b^2)(1+a^2+b^2)} \quad \Gamma_{aa}^b = \frac{b(1+b^2)}{(1+2a^2+2b^2)(1+a^2+b^2)}$$

6

ze względu na symetrię parametryzacji otrzymalibyśmy zapewne

$$\Gamma_{bb}^b = \frac{b(1+a^2)}{(1+2a^2+2b^2)(1+a^2+b^2)} \quad \Gamma_{bb}^a = \frac{a(1+a^2)}{(1+2a^2+2b^2)(1+a^2+b^2)}$$

Rachunek zmiennych do wyliczenia $\Gamma_{ab}^a = \Gamma_{ba}^a$; $\Gamma_{ab}^b = \Gamma_{ba}^b$ trzeba wykonać oddzielnie wyznaczając np:

$$\nabla_{\partial_b} \partial_a = \frac{-ab}{(1+2a^2+2b^2)(1+a^2+b^2)} (a\partial_a + b\partial_b) \quad \text{Widać więc wzory na brakujące współczynniki.}$$

Wzory na współczynniki Christoffela na \mathbb{H} są dość pastuchne. Powstaje pytanie, czy można wybrać lepszy układ współrzędnych tak, żeby te wzory były ładniejsze? Układ ten musi w jakimś sensie odzwierciedlać geometrię \mathbb{H} . Zajmiemy się oczywiście przypadkiem ogólniejszym, tzn takim, że $M \subset \mathbb{R}^n$, $\dim M = k = n-1$.

Jeśli M jest hiperpowierzchnią zanurzoną w \mathbb{R}^n , przynajmniej lokalnie mamy do dyspozycji jednostkowe pole normalne N . Trzeba tu dokonać wyboru spośród dwóch pól różniących się o znak. Dla powierzchni orientowalnych takie pole istnieje globalnie.

$\|N\|=1 \Rightarrow D_{\sigma}(N|N) = 0 = 2(D_{\sigma}N|N)$ dla dowolnego $\sigma \in T_q M$. Skoro $D_{\sigma}N \perp N$ to $D_{\sigma}N \in T_q M$. Mamy zatem odwzorowanie

$$A_q: T_q M \rightarrow T_q M, \quad A_q(\sigma) = -D_{\sigma}N$$

Jest to operator liniowy. Jeśli powierzchnia jest gładką, N jest polem gładkim. Możemy więc napisać $A: TM \rightarrow TM$. A jest gładkim endomorfizmem wiązki stycznosci nad identyficyzmością. A nazywa się **operatorem Weingartena** lub **operatorem kształtu**.

Na \mathbb{H} w punkcie $q=(a,b)$ policzymy $A_q(\partial_a) = -D_{\partial_a}N$ i $A_q(\partial_b) = -D_{\partial_b}N$ pomijając, że

$$N = \frac{1}{\sqrt{1+2a^2+2b^2}} (-a\partial_x - b\partial_y + \sqrt{1+a^2+b^2}\partial_z)$$

$$\partial_a \left(\frac{a}{\sqrt{1+2a^2+2b^2}} \right) = \frac{\sqrt{\dots} - \frac{4a^2}{2\sqrt{\dots}}}{(1+2a^2+2b^2)^{3/2}} = \frac{1+2b^2}{\sqrt{\dots}^3} \quad \partial_a \left(\frac{b}{\sqrt{\dots}} \right) = -\frac{2ab}{\sqrt{\dots}^3}$$

$$\partial_a \left(\frac{\sqrt{1+a^2+b^2}}{\sqrt{1+2a^2+2b^2}} \right) = \frac{\frac{a}{\sqrt{1+a^2+b^2}} \sqrt{\dots} - \frac{2a}{\sqrt{\dots}} \sqrt{1+a^2+b^2}}{1+2a^2+2b^2} = \frac{a(1+2a^2+2b^2) - 2a(1+a^2+b^2)}{\sqrt{1+2a^2+2b^2}^3 \sqrt{1+a^2+b^2}} =$$

$$\frac{-a}{\sqrt{1+2a^2+2b^2}^3 \sqrt{1+a^2+b^2}} \quad D_{\partial_a} N = \frac{1}{\sqrt{\dots}^3} \left(-(1+2b^2)\partial_x + 2ab\partial_y - \frac{a}{\sqrt{1+a^2+b^2}}\partial_z \right) =$$

$$= \frac{1}{\sqrt{1+2a^2+2b^2}^3} \left(-(1+2b^2)\partial_a + 2ab\partial_b \right)$$

Po paskudnych rachunkach:

$$A = \frac{1}{\sqrt{1+2a^2+2b^2}^3} \begin{bmatrix} (1+2b^2) & -2ab \\ -2ab & (1+2a^2) \end{bmatrix}$$

Dostaliśmy macierz operatora kształtu w bazie (∂_a, ∂_b)

W powyższym przykładzie A okazał się być wyrażony symetryczną macierzą. Nie jest to przypadek

STWIERDZENIE: Operator kształtu jest samosprężony, tzn $g(A(v), w) = g(v, A(w))$ dla dowolnych $v, w \in TM$, $\tau_M(v) = \tau_M(w)$.

DOWÓD: Weźmy dwa dowolne pola wektorowe X, Y styczne do M , takie, że $X(q) = v$, $Y(q) = w$. Wiadomo, że $\tilde{g}(X, N) = 0 = \tilde{g}(Y, N)$.

$$0 = D_Y(\tilde{g}(X, N)) = \tilde{g}(D_Y X, N) + \tilde{g}(X, D_Y N) = \tilde{g}(D_Y X, N) - \tilde{g}(X, A(Y))$$

$$0 = D_X(\tilde{g}(Y, N)) = \dots = \tilde{g}(D_X Y, N) - \tilde{g}(Y, A(X))$$

$$\text{zatem } 0 = D_Y(\tilde{g}(X, N)) - D_X(\tilde{g}(Y, N)) = \tilde{g}(D_Y X, N) - \tilde{g}(D_X Y, N) - \tilde{g}(X, A(Y)) + \tilde{g}(Y, A(X)) =$$

$$= \tilde{g}(D_Y X - D_X Y, N) + g(Y, A(X)) - g(X, A(Y)) = \text{X, Y styczne do M, więc można opuścić wpyki}$$

$$= \tilde{g}([X, Y], N) + g(Y, A(X)) - g(X, A(Y)) =$$

$$= g(Y, A(X)) - g(X, A(Y))$$

$$\text{W punkcie } q, \text{ dostajemy } g(w, A(v)) = g(v, A(w))$$

jeśli X, Y styczne do M to ich nawias Liego też. zatem iloczynu skalarny z N daje 0

Amadaje się więc do stworzenia pewnej formy dwuliniowej symetrycznej na TM , miałowicie

$$b(v, w) = g(A(v), w)$$

Powyzna forma nosi nazwę **druga forma podstawowa**.

Skoro macierz A jest symetryczna możemy skorzystać z twierdzenia spektralnego, które mówi, że A jest diagonalizowalny, ma rzeczywiste wartości własne oraz istnieje baza złożona z ortogonalnych (ortonormalnych) wektorów własnych. Wartości własne operatora A nazywają się **krywiznami głównymi** a wektory własne wyznaczają **kierunki główne** na powierzchni.

Wyliczmy krywizny główne i kierunki główne na \mathbb{H}^3 $r = \sqrt{1+2a^2+2b^2}$

$$\omega_A(\lambda) = \det(A - \lambda \mathbb{1}) = \det \begin{bmatrix} \frac{1+2b^2}{r^3} - \lambda & \frac{-2ab}{r^3} \\ \frac{-2ab}{r^3} & \frac{1+2a^2}{r^3} - \lambda \end{bmatrix} = \frac{1}{r^6} \left[(1+2b^2 - r^3 \lambda)(1+2a^2 - r^3 \lambda) - 4a^2 b^2 \right] =$$

$$= \frac{1}{r^6} \left[1+2a^2 - r^3 \lambda + 2b^2 + 4a^2 b^2 - 2b^2 r^3 \lambda - r^3 \lambda - 2a^2 r^3 \lambda + r^6 \lambda^2 - 4a^2 b^2 \right] = \frac{1}{r^6} \left[r^6 + \lambda(-2r^3 - 2b^2 r^3 - 2a^2 r^3) + r^6 \lambda^2 \right] =$$

$$\frac{r^6 \lambda^2}{r^6} = \frac{1}{r^6} \left[r^6 + \lambda(-2-2b^2-2a^2) + r^6 \lambda^2 \right] = \frac{1}{r^6} + \lambda \frac{1}{r^3} (-1-r^2) + \lambda^2 = \frac{1}{r^6} - \frac{1+r^2}{r^3} \lambda + \lambda^2$$

$$\omega_A(\lambda) = 0 \Leftrightarrow \lambda = \frac{1}{r^3} \text{ lub } \lambda = \frac{1}{r}. \text{ Otrzymałismy więc dwie krywizny główne}$$

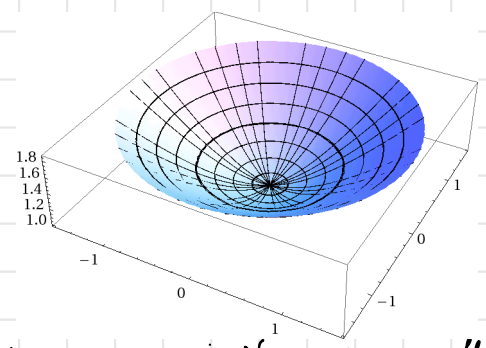
$$k_1(a, b) = \frac{1}{r^3} = \frac{1}{\sqrt{1+2a^2+2b^2}^3}$$

$$k_2(a, b) = \frac{1}{r} = \frac{1}{\sqrt{1+2a^2+2b^2}}$$

Odpowiadające im kierunki główne wyznaczone są przez:

$$v_1 = a \partial_a + b \partial_b = a \partial_x + b \partial_y + \frac{a^2 + b^2}{\sqrt{1 + a^2 + b^2}} \partial_z$$

$$v_2 = b \partial_a - a \partial_b = b \partial_x - a \partial_y$$



Linie do których styczne są kierunki główne nazywają się liniami krzywiznowymi. Na powierzchni M kierunki główne to krzywe tłożące powierzchni obrotowej jak jest M oraz okręgi poziome leżące na M . Znajomość kierunków głównych może pomóc np. w znalezieniu wygodniejszej parametryzacji powierzchni. Prawdziwe jest twierdzenie:

Twierdzenie Jeżeli w punkcie $q \in M$ wszystkie krzywizny główne są różne, to w otoczeniu tego punktu istnieje układ współrzędnych taki, że linie krzywiznowe są liniami współrzędnych.

Linie krzywiznowe z odpowiednią parametryzacją tłożąc więc siatkę współrzędnych. Na M jest tak wybrane pole punktów $(0,0,1)$ - w tym punkcie dwie krzywizny są jednakowe i równe 1. Stosowna parametryzacja może wyglądać następująco

$$(\varphi, \alpha) \mapsto (\cos \varphi \sin \alpha, \sin \varphi \sin \alpha, \cos \alpha)$$

Wykład na temat powierzchni zamkniętych zakończymy wprowadzając pojęcie krzywizny Gaussa. W tym celu ustalamy $m=3, k=2$. Rozważamy więc dwuwymiarowe powierzchnie w \mathbb{R}^3 .

Definicja: Odwzorowaniem Gaussa nazywamy przyporządkowanie punktowi $q \in M$ punktu na sferze $S^2 \subset \mathbb{R}^3$ danego przez $N(q)$. Odwzorowanie Gaussa oznaczymy n :

$$n: M \ni q \mapsto N(q) \in S^2$$

Zapiszemy odwzorowanie Gaussa dla M w nowej parametryzacji:

$$\partial \varphi = -\sin \varphi \sin \alpha \partial_x + \cos \varphi \sin \alpha \partial_y \quad \partial_\alpha = \cos \varphi \cos \alpha \partial_x + \sin \varphi \cos \alpha \partial_y + \sin \alpha \partial_z$$

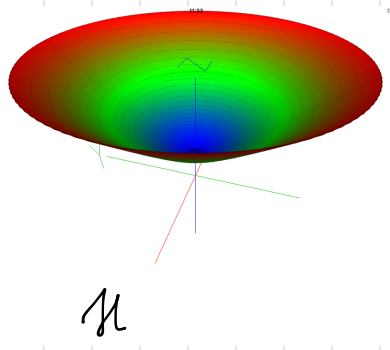
$$-N_x \sin \varphi \sin \alpha + N_y \cos \varphi \sin \alpha = 0 \Rightarrow N_x = a \cos \varphi \quad N_y = a \sin \varphi$$

$$N_x \cos \varphi \cos \alpha + N_y \sin \varphi \cos \alpha + N_z \sin \alpha = 0$$

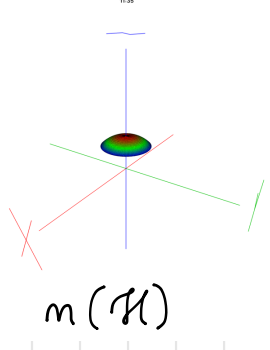
$$a \cos \alpha + N_z \sin \alpha = 0 \Rightarrow a = b \sin \alpha \quad N_z = -b \cos \alpha \quad N \sim b \sin \alpha \cos \varphi \partial_x + b \sin \alpha \sin \varphi \partial_y - b \cos \alpha \partial_z$$

$$b^2 \sin^2 \alpha + b^2 \cos^2 \alpha = 1 \quad b^2 (\sin^2 \alpha + \cos^2 \alpha) = 1 \quad b^2 = 1/\cos^2 \alpha \quad b = \frac{1}{\cos \alpha}$$

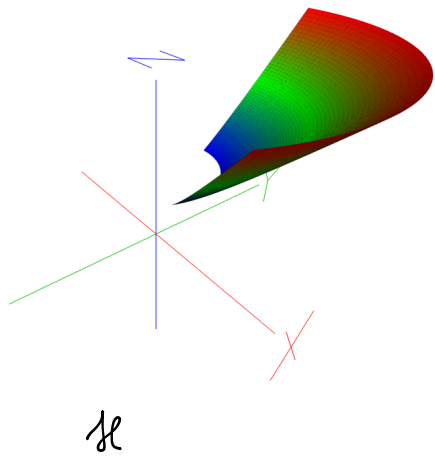
$$N(\varphi, \alpha) = \frac{1}{\cos \alpha} (\sin \alpha \cos \varphi \partial_x + \sin \alpha \sin \varphi \partial_y - \cos \alpha \partial_z)$$



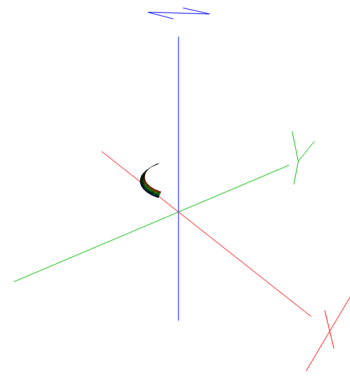
M



n(M)



\mathcal{H}



$n(\mathcal{H})$

Krzywiżna Gaussa - idea geometryczna: Niech \mathcal{O} będzie otoczeniem punktu $q \in M \subset M$ na tyle regularnym, żeby dało się policzyć jego pole $\text{vol}(\mathcal{O})$. Wyznaczamy także pole $n(\mathcal{O})$ na S^2 . Może się oczywiście zdarzyć, że $n(\mathcal{O})$ będzie raczej chudy, wtedy $\text{vol}(n(\mathcal{O})) = 0$. Z dokładnością do znaku krzyżna Gaussa jest to granica ilorazu $\text{vol}(n(\mathcal{O})) / \text{vol}(\mathcal{O})$ gdy $\mathcal{O} \rightarrow \{q\}$. Nie jest to zbyt precyzyjna definicja, ale intuicyjnie wiadomo o co chodzi. Jeśli na małym obszarze M kierunek N bardzo się zmienia krzyżna jest duża, jeśli powierzchnia jest mniej więcej płaska, krzyżna jest mała...

Od intuicji przejdźmy do sformułowania precyzyjnego. Niech $\text{vol}(v, w)$ oznacza pole równoległoboku rozpiętego na v i w . Krzyżna Gaussa K_M w punkcie $q \in M$ jest równa

$$K_M(q) = \text{sgn} \det(T_q n) \frac{\text{vol}(T_n(v), T_n(w))}{\text{vol}(v, w)} \quad v, w \text{ muszą być liniami niezależnymi oczywiście.}$$

Użycie wyznacznika może się tu wydać wyplute, bo T_n działa z $T_q M$ do $T_n(q) S^2$. Jednak obie przestrzenie traktowane jako podprzestrzenie \mathbb{R}^3 są dwuwymiarowe, płaszczyzny do $N(q)$ mogą więc być naturalnie utożsamiane

$$\text{vol}(v, w) = \left(\det \begin{bmatrix} g(v, v) & g(v, w) \\ g(v, w) & g(w, w) \end{bmatrix} \right)^{1/2} = |\det Q| \sqrt{\det g} \quad \text{gdzie } Q \text{ jest macierzą której kolumny są wektorami } v \text{ i } w \text{ w ustalonej bazie}$$

W tej samej bazie liczymy

$$\begin{aligned} \text{vol}(T_q n(v), T_q n(w)) &= |\det T_q n| |\det Q| \sqrt{\det g} \\ K_M &= \text{sgn} \det T_q n \frac{|\det T_q n| |\det Q| \sqrt{\det g}}{|\det Q| \sqrt{\det g}} = \det T_q n \end{aligned}$$

Niech teraz $\gamma: \mathbb{R} \supset I \rightarrow M$ będzie taka, że $v = \dot{\gamma}(0) = t\dot{\gamma}(0)$ wtedy

$$T_q n(v) = t(n \circ \dot{\gamma})(0) = D_{\dot{\gamma}} N(q) = -A_q(v) \quad T_q n = -A_q \quad \det T_q n = \det A_q = k_1 k_2$$

10

Okazuje się więc, że krzywizna Gaussa jest iloczynem krzywizn głównych. Łatwo sprawdzić, że krzywizna sfery o promieniu R jest równa $1/R^2$, krzywizna maciej hiperboloidy H jest $1/a^4$.

Definicja krzywizny Gaussa jest na pierwszy rzut oka „zewnątrzna” to znaczy zawiera obiekty zależne od zanurzenia. Okazuje się jednak, że jest to wielkość całkowicie „wewnętrzna”.
Załączki bowiem twierdzenie

TIWIERDZENIE (Theoreme Egregium) Jeśli $f: M \rightarrow N$ jest izometrią to $K_M(q) = K_N(f(q))$

Do udowodnienia tego twierdzenia w przyszłości i jednocześnie dajemy pewną dodatkową interpretację sposobu gotowi będziemy za kilka wykładów.